

ОБ УСКОРЕНИИ ТЯЖЕЛЫХ ЯДЕР НА СОЛНЦЕ

С. С. Конякина, Л. В. Курносова, В. И. Логачев,
Л. А. Разоренов, М. И. Фралкин

В литературе указывается на различные возможные механизмы ускорения частиц на Солнце до энергий от десятков Мэв до нескольких Гэв. Однако многие из них встречаются с определенными трудностями /1/. В последние годы С. И. Сыроватским был предложен механизм "динамической" диссипации магнитного поля, приводящий к непосредственному переходу магнитной энергии в энергию ускоряемых частиц /2/. Этот механизм может, например, действовать, когда при смещении солнечных пятен вблизи нулевых линий магнитного поля возникают области разреженной плазмы с большими градиентами магнитных полей.

Сильное электрическое поле, возникающее в таких областях, ускоряет заряженные частицы. При сильном сближении пятен, если возникающий градиент магнитного поля в области разреженной плазмы достаточно велик, ускорение может оказаться весьма эффективным, и ускоряются практически все заряженные частицы в данной области. При этом ядерный состав солнечных космических лучей будет тот же, что и химический состав атмосферы Солнца в этой области. При меньшем сближении пятен, когда градиент магнитного поля не столь велик, непосредственная роль этого механизма может оказаться небольшой по сравнению со статистическим процессом ускорения ядер в результате их столкновений с возникающими мелкомасштабными неоднородностями магнитного поля.

Существенную роль в процессах ускорения играет скорость увеличения энергии ускоряемых частиц. При большой скорости роста энергии ионизационные потери энергии не существенны, и частицы ускоряются инъекционно. В случае же более медленного

роста энергии из-за наличия ионизационных потерь ускоряются только те частицы, энергия которых превышает пороговую энергию инжекции. В случае теплового распределения частиц по скоростям некоторая доля частиц будет иметь энергию, превышающую пороговую энергию инжекции и будет, следовательно, ускоряться. Обеднение спектра быстрыми частицами вблизи порога инжекции будет происходить вследствие столкновений частиц. При достаточно медленном процессе ускорения возникает стационарный поток частиц в "сверхтепловую" область энергий. Расчет величины этого потока в случае статистического механизма ускорения проведен в /3/. Для ионов с концентрацией N_1 этот поток равен /4/

$$I = B z_1^{2/3} A_1^{1/2} \exp(-C z_1^2/A_1) N_1, \quad (1)$$

где A_1 - массовое число такого иона, z_1 - его заряд, а величины B и C зависят от скорости набора энергии в процессе ускорения, энергии инжекции, а также от температуры и плотности среды. Из формулы (1) видно, что при условии неполной ионизации ядер имеет место преимущественное ускорение более тяжелых ядер.

Таким образом, на Солнце имеются возможности для ускорения заряженных частиц в процессе динамической диссиляции магнитного поля, когда ускоряются все частицы и ядерный состав уско-ренных частиц повторяет состав солнечной атмосферы, и для статистического механизма ускорения, когда преимущественно ускоряются более тяжелые ядра. Первой из этих возможностей отвечут солнечные космические лучи, наблюдавшиеся во время крупных солнечных вспышек /5/. Случай с преимущественной обогащенностью тяжелыми ядрами наблюдались в работах /6-8/ и недавно в /9/.

Случаи, наблюдавшиеся в /6-8/, относятся к ядрам с энергией $E \geq 400 \div 600$ МэВ/нуクлон и сопровождались только сравнительно слабыми проявлениями солнечной активности. В /8/ мы попытались применить к ним соотношение (1), рассчитав постоянные B и C на основании данных для двух групп ядер и вычислив поток ядер третьей группы. При этом принимались эффективные значения A и N для каждой из групп. Расчеты были сделаны для разных температур среды и, следовательно, для разных значений z_1 . В качестве исходных данных принимались потоки ядер средней

группы (точнее ядер с зарядом $20 > z \geq 5$) и ядер группы железа ($z > 20$). Вычислялись потоки α -частич и протонов.

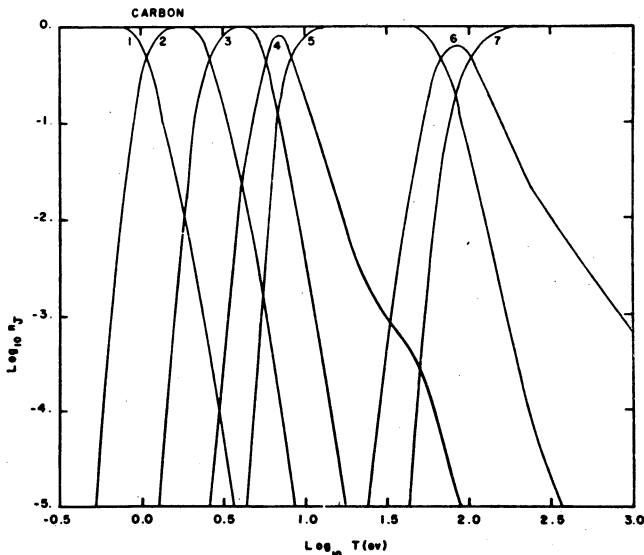


Рис. I. Зависимость относительной концентрации ионов с различной кратностью ионизации от $\lg T$ для углерода /10/. Индекс у кривых равен $z + I$, где z - кратность ионизации.

При расчетах использовались кратности ионизации различных ядер, приведенные в /10/. В этой работе представлены графики, указывающие кратность ионизации в зависимости от температуры, полученные для условий ионизационного равновесия, с учетом процессов ионизации и рекомбинации в результате столкновений и рекомбинации под действием излучения и в пренебрежении ионизации излучением. На рис. I приведен пример графика, заимствованный из /10/, дающий зависимость относительной концентрации ионов с различной кратностью ионизации от температуры для углерода. По оси абсцисс отложен $\lg T$, где T - температура среды, выраженная в электрон-вольтах. По оси ординат - относительное содержание компонент с разной кратностью ионизации. Для каждой компоненты приведена отдельная кривая, причем цифры у кривых отвечают значению $z + I$, где z - крат-

ность ионизации (ненейонизованному состоянию соответствует индекс 1). Значения температуры могут быть легко приведены в градусную шкалу исходя из того, что I эв соответствует 11603°K .

Оказалось, что экспериментальные данные лучше всего отвечают температуре $150000\text{--}200000^{\circ}\text{K}$. Условия, использованные в /10/, и такие температуры имеют место в верхней хромосфере и короне Солнца. Электронные плотности при таких температурах составляют $10^9\text{--}10^{11} \text{ см}^{-3}$ /11-13/, когда условия, использованные в /10/, можно считать выполняющимися.

При температуре 180000°K , для которой проводились расчеты, ядра водорода и гелия практически полностью лишены электронов, углерод ионизован четырехкратно, кислород ионизован на $\sim 50\%$ четырехкратно и на 50% - пятикратно, железо на 40% - пятикратно и на 60% - шестикратно и т.д.

Полученные в результате расчетов /8/ потоки протонов и α -частиц оказались в удовлетворительном согласии с имеющимися данными.

Разумеется, можно было бы проводить вычисления и в другом порядке, т.е. по потокам α -частиц и средней группе ядер находить ожидаемый поток ядер железа и сравнивать его значение с результатом эксперимента.

Здесь мы приведем результаты расчетов для потоков различных ядер, основываящиеся на данных /9/ для углерода и кремния, и сопоставим их с данными /9/ для других элементов, а также с данными, полученными в /8/. Поскольку температура 180000°K оказалась наиболее подходящей для случаев, приведенных в /8/, мы проводили расчеты для тех кратностей ионизации различных элементов, которые соответствуют этой температуре. При этом углерод и кремний почти полностью ионизованы четырехкратно, что упрощает вычисление постоянных В и С.

На рис. 2 показаны значения $\lg(I_1/N_1)$, полученные для различных элементов из (I). На рис. 3 показаны экспериментальные значения относительной величины потоков различных групп ядер, полученные в /9/ (зачерненные квадраты). Для кислорода поток принят равным I. Ломаная прямая соединяет расчетные точки. Кружками показаны эти же экспериментальные данные с учетом поправок на энергетический спектр, приведенных в /9/. Пунктиром

показаны соответствующие расчетные данные. Крестиками показаны данные для четырех случаев, описанных в /8/. Три из них (1,2,3) были длительными (более суток) и один (4) продолжал-

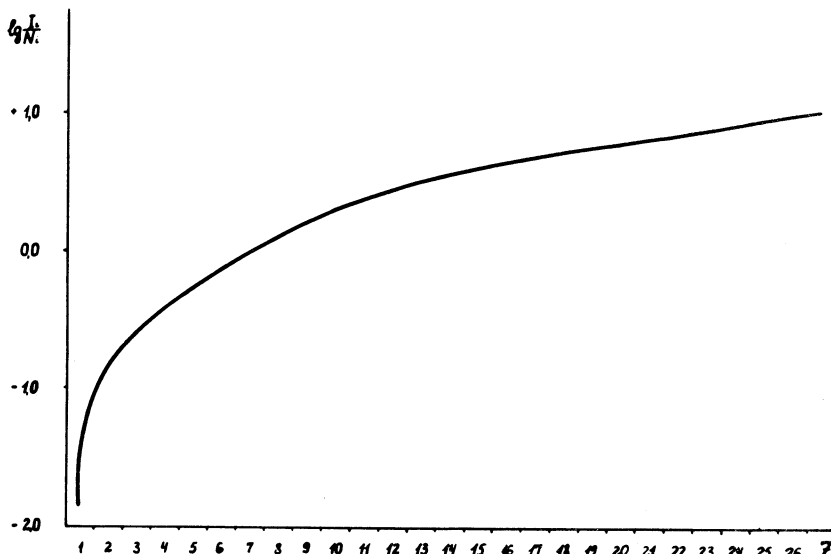
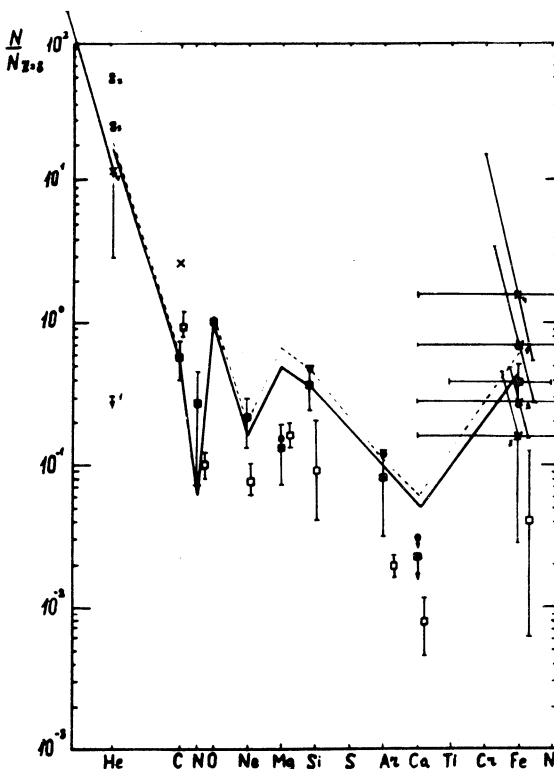


Рис. 2. Зависимость $\lg(I_1/N_1)$ от z , полученная из (I).

ся 3,5 часа. Для того, чтобы сопоставить эти случаи с данными /8/, была произведена нормировка по группе ядер с $20 > z > 5$. Суммарный поток г γ ер этой группы по данным /9/ обозначен крестиком и условно отнесен к $z = 6$. С этим значением совместились данные /8/ для ядер с $20 > z \geq 5$.

Показаны также данные /8/ для α -частиц. Из рисунка 3 видно удовлетворительное согласие результатов эксперимента с расчетами. Разумеется, полученное согласие не следует рассматривать как доказательство реализации механизма, приводящего к (I), так как имеются и другие возможности обогащения спектра тяжелыми ядрами, и это согласие может носить случайный характер. По мере накопления данных о случаях наблюдения солнечных космических лучей, обогащенных тяжелыми ядрами, интересно будет проследить, насколько они будут отвечать соотношению (I). Одна-



Р и с. 3. Экспериментальные значения относительной величины потоков различных групп ядер, полученные в /9/ (зачерненные квадраты), и расчетные данные, полученные из (I) (ломаная линия). Кружками показаны те же экспериментальные значения с поправкой /9/, учитывющей энергетический спектр ядер. Соответствующие расчеты — пунктирная кривая. Крестиками показаны данные /8/, для четырех случаев (I — 4), причем поток ядер средней группы нормирован по суммарным данным /9/ для ядер этой группы. Незачерненные квадраты — данные о естественной распространенности элементов, использованные в /9/.

ко, по-видимому, уже сейчас становится достаточно достоверным, что реализуются различные механизмы образования солнечных космических лучей. В частности, возможно образование солнечных космических лучей с ядерным составом, обогащенным тяжелыми ядрами.

Поступила в редакцию 24 апреля 1972 г.

После переработки 12 июня 1972 г.

Л и т е р а т у р а

1. Л. И. Дорман. Вариации космических лучей и исследование космоса. Изд-во АН СССР, М., 1963 г., стр. 670.
2. С. И. Сыроватский. Астрон. ж. 43, 340 (1966); ЖЭТФ, 50, II33 (1966); Solar Terrestrial Physics, Part I, 119 (1970).
3. А. В. Гуревич. ЖЭТФ, 38, 1597 (1960).
4. В. Л. Гинзбург, С. И. Сыроватский. Происхождение космических лучей. Изд-во АН СССР, 1963 г. стр. 172.
5. S. Biswas, C. E. Fichtel. Space Sci. Rev., 4, 709 (1965).
6. Л. В. Курносова, В. И. Логачев и др. Труды ФИАН, 46, 226 (1970).
7. С. С. Коняхина, Л. В. Курносова и др. Изв. АН СССР, 35, 2446 (1971).
8. Л. В. Курносова, Л. А. Разоренов и др. Космические исследования 5, вып. 6, 863 (1967).
9. A. Mogro-Sampero, J. A. Simpson. Enrico Fermi Institute Preprint N 71-67 (1971).
10. L. L. House. Astrophys. J. Suppl., Ser. 8, № 81, 307 (1964).
- II. Г. С. Иванов-Холодный, Г. М. Никольский, Астрон. ж., 39, 777 (1962).
- I2. К. У. Аллен. Астрономические величины. И. Л., 1960 г.
стр. 170.
- I3. Р. Томас, Р. Атей. Физика солнечной атмосферы. Изд-во "Мир", 1965 г. стр. 292.